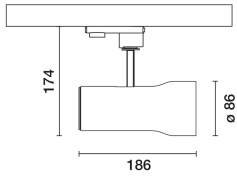


Ultimo aggiornamento delle informazioni: Febbraio 2025

Configurazione di prodotto: 473A

473A: Proiettore SIPARIO Ø86 - CASAMBI - WideFlood - OBReflector -



Codice prodotto

473A: Proiettore SIPARIO Ø86 - CASAMBI - WideFlood - OBReflector -

Descrizione tecnica

Proiettore orientabile Ø86 con adattatore per installazione a basetta o binario tensione di rete. Sorgente Led con tecnologia C.O.B (Chip on board) ad alta resa cromatica -CRI97- tonalità 3000K.

Corpo realizzato in pressofusione di alluminio con tappo posteriore ed anello frontale in materiale termoplastico (Mass-Balance). Il prodotto permette una rotazione di 360° attorno all'asse verticale con blocco meccanico e un'inclinazione di 90° rispetto al piano orizzontale. Dissipazione del calore passiva.

Sistema ottico OptiBeam Reflector con ottica WideFlood. Riflettore antigraffio realizzato in alluminio P.V.D (Physical Vapour Deposition) in grado di fornire ottime performance in termini di efficienza luminosa.

Corpo completo di gruppo di alimentazione dimmerabile con protocollo Casambi posizionato all'interno dell'adattatore a binario del prodotto. La componentistica utilizzata consente di controllare i prodotti con app e componenti del sistema Casambi, abilitando le funzioni di on-off, dimming, richiamo scene e la collaborazione di più apparecchi in una rete mesh Casambi. Frequenza Bluetooth 2.4 GHz. La app è disponibile su Apple Store e Google Play Store. Beacon integrato e attivabile tramite app (iBeacon) che abilita le funzioni smart per applicazioni di terze parti e app di Push Notification Jiminy.

Proiettore con sistema Push&Go progettato per facilitare e velocizzare in sicurezza l'accoppiamento tra prodotto e accessorio ottico. La disconnessione meccanica permette lo sgancio dell'accessorio ma non la caduta. Possibilità di utilizzo in contemporanea di tre accessori interni ed uno esterno. Tutti gli accessori interni ed esterni sono ruotabili di 360° rispetto all'asse longitudinale del proiettore.

Installazione

Basetta o binario tensione di rete.

Colore

Bianco (01) | Nero opaco (V0)

Peso (Kg)

0.77

Montaggio

binario trifase

Note

Distanza max tra prodotto e prodotto 8 m.

La distanza max è influenzata dalla presenza di ostacoli fisici come ad esempio pareti, pannelli metallici e dal layout dell'impianto.

Soddisfa EN60598-1 e relative note



Dati tecnici

| | | | |
|--|------|--|--|
| Im di sistema: | 1945 | Life Time LED 1: | > 50,000h - L90 - B10 (Ta 25°C) |
| W di sistema: | 21.8 | Codice lampada: | LED |
| Im di sorgente: | 2210 | Numero di lampade per vano ottico: | 1 |
| W di sorgente: | 19 | Codice ZVEI: | LED |
| Efficienza luminosa (lm/W, dati di sistema): | 89.2 | Numero di vani ottici: | 1 |
| Im in modalità emergenza: | - | Power factor: | Vedi istruzioni di installazione |
| Flusso totale emesso a 90° o superiore [Lm]: | 0 | Corrente di spunto (in-rush): | 20 A / 25 µs |
| Light Output Ratio (L.O.R.) [%]: | 88 | Massimo numero di apparecchi collegabili a ogni interruttore automatico: | B16A: 34 apparecchi B16A: 55 apparecchi C10A: 57 apparecchi C16A: 93 apparecchi |
| Angolo di apertura [°]: | 54° | % minima di dimmerazione: | 1 |
| CRI (minimo): | 97 | Protezione alle sovratensioni: | 2kV Modo comune e 1kV Modo differenziale |
| Temperatura colore [K]: | 3000 | Control: | Casambi |
| MacAdam Step: | 2 | | |

Polare

| Imax=2730 cd | CIE nL 0.88 98-100-100-100-88 UGR 16.5-16.5 DIN A.61 UTE 0.88A+0.00T F*1=983 F*1+F*2=1000 F*1+F*2+F*3=1000 CIBSE LG3 L<1500 cd/m² at 65° UGR<19 L<1500 cd/mq @65° | Lux | | | |
|--------------|--|-----|-----|-----|------|
| | | h | d | Em | Emax |
| 90° | | 2 | 2 | 545 | 682 |
| 3000 | | 4 | 4.1 | 136 | 171 |
| | | 6 | 6.1 | 61 | 76 |
| 0° | | 8 | 8.2 | 34 | 43 |
| α=54° | | | | | |

Coefficienti di utilizzazione

| R | 77 | 75 | 73 | 71 | 55 | 53 | 33 | 00 | DRR |
|------|----|----|----|----|----|----|----|----|-----|
| K0.8 | 79 | 75 | 72 | 69 | 74 | 71 | 71 | 68 | 77 |
| 1.0 | 82 | 79 | 76 | 74 | 78 | 75 | 75 | 72 | 82 |
| 1.5 | 87 | 84 | 82 | 80 | 83 | 81 | 80 | 77 | 88 |
| 2.0 | 89 | 87 | 86 | 84 | 86 | 85 | 84 | 81 | 92 |
| 2.5 | 91 | 90 | 88 | 87 | 88 | 87 | 86 | 84 | 95 |
| 3.0 | 92 | 91 | 90 | 89 | 90 | 89 | 88 | 86 | 97 |
| 4.0 | 93 | 92 | 92 | 91 | 91 | 91 | 89 | 87 | 99 |
| 5.0 | 94 | 93 | 93 | 93 | 92 | 91 | 90 | 88 | 100 |

Curva limite di luminanza

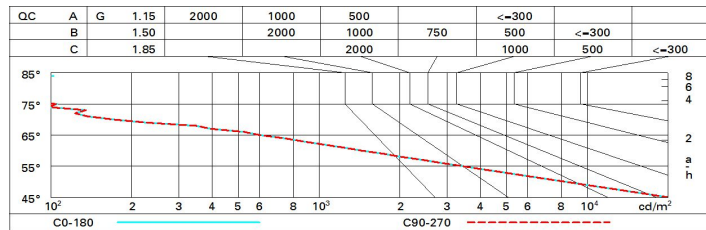


Diagramma UGR

| Corrected UGR values (at 2210 lm bare lamp luminous flux) | | | | | | | | | | | |
|---|------|------------------|------|------|------|------|----------------|------|------|------|------|
| Reflect.: | | viewed crosswise | | | | | viewed endwise | | | | |
| ceil/cav | | 0.70 | 0.70 | 0.50 | 0.50 | 0.30 | 0.70 | 0.70 | 0.50 | 0.50 | 0.30 |
| walls | | 0.50 | 0.30 | 0.50 | 0.30 | 0.30 | 0.50 | 0.30 | 0.50 | 0.30 | 0.30 |
| work pl. | | 0.20 | 0.20 | 0.20 | 0.20 | 0.20 | 0.20 | 0.20 | 0.20 | 0.20 | 0.20 |
| Room dim | | viewed crosswise | | | | | viewed endwise | | | | |
| x | y | | | | | | | | | | |
| 2H | 2H | 17.1 | 17.7 | 17.4 | 17.9 | 18.2 | 17.1 | 17.7 | 17.4 | 17.9 | 18.2 |
| | 3H | 17.0 | 17.5 | 17.3 | 17.8 | 18.0 | 17.0 | 17.5 | 17.3 | 17.8 | 18.0 |
| | 4H | 16.9 | 17.4 | 17.2 | 17.7 | 18.0 | 16.9 | 17.4 | 17.2 | 17.7 | 18.0 |
| | 6H | 16.8 | 17.3 | 17.2 | 17.6 | 17.9 | 16.8 | 17.3 | 17.2 | 17.6 | 17.9 |
| | 8H | 16.8 | 17.2 | 17.2 | 17.5 | 17.9 | 16.8 | 17.2 | 17.2 | 17.5 | 17.9 |
| | 12H | 16.8 | 17.2 | 17.1 | 17.5 | 17.8 | 16.8 | 17.2 | 17.1 | 17.5 | 17.9 |
| 4H | 2H | 16.9 | 17.4 | 17.2 | 17.7 | 18.0 | 16.9 | 17.4 | 17.2 | 17.7 | 18.0 |
| | 3H | 16.8 | 17.2 | 17.1 | 17.5 | 17.9 | 16.8 | 17.2 | 17.1 | 17.5 | 17.9 |
| | 4H | 16.7 | 17.0 | 17.1 | 17.4 | 17.8 | 16.7 | 17.0 | 17.1 | 17.4 | 17.8 |
| | 6H | 16.6 | 16.9 | 17.0 | 17.3 | 17.7 | 16.6 | 16.9 | 17.0 | 17.3 | 17.7 |
| | 8H | 16.5 | 16.8 | 17.0 | 17.2 | 17.7 | 16.5 | 16.8 | 17.0 | 17.2 | 17.7 |
| | 12H | 16.5 | 16.7 | 16.9 | 17.2 | 17.6 | 16.5 | 16.7 | 16.9 | 17.2 | 17.6 |
| 8H | 4H | 16.5 | 16.8 | 17.0 | 17.2 | 17.7 | 16.5 | 16.8 | 17.0 | 17.2 | 17.7 |
| | 6H | 16.4 | 16.7 | 16.9 | 17.1 | 17.6 | 16.4 | 16.7 | 16.9 | 17.1 | 17.6 |
| | 8H | 16.4 | 16.6 | 16.9 | 17.0 | 17.5 | 16.4 | 16.6 | 16.9 | 17.0 | 17.5 |
| | 12H | 16.3 | 16.5 | 16.8 | 17.0 | 17.5 | 16.3 | 16.5 | 16.8 | 17.0 | 17.5 |
| 12H | 4H | 16.5 | 16.7 | 16.9 | 17.2 | 17.6 | 16.5 | 16.7 | 16.9 | 17.2 | 17.6 |
| | 6H | 16.4 | 16.6 | 16.9 | 17.0 | 17.5 | 16.4 | 16.6 | 16.9 | 17.0 | 17.5 |
| | 8H | 16.3 | 16.5 | 16.8 | 17.0 | 17.5 | 16.3 | 16.5 | 16.8 | 17.0 | 17.5 |
| Variations with the observer position at spacing: | | | | | | | | | | | |
| S = | 1.0H | 5.7 / -15.2 | | | | | 5.7 / -15.2 | | | | |
| | 1.5H | 8.5 / -22.2 | | | | | 8.5 / -22.2 | | | | |
| | 2.0H | 10.5 / -28.0 | | | | | 10.5 / -28.0 | | | | |